

I-41 ラーメン構造の変形性状に及ぼすひずみ硬化の影響

金沢大学 正 喜内 敏
吉田 博
石川高尙 〇年村 昭英

1. 予言式

塑性設計法によると、鋼構造物の設計に際しては、その構造物の耐力を得るときの最大荷重と最大荷重下での变形を検討する必要がある。同時に、最大荷重に達した後の挙動に対しても、設計に際して検討されなければならない。

一般に用いられる構造用鋼材としての取扱いによれば、ひずみ硬化によるひずみの約14倍の增加とともにひずみ硬化の現象が生じて、降伏応力以上で応力が増加する現象である。このひずみ硬化の現象を考慮すると鋼構造物の变形は弹性範囲では前重と变形とは比例的に増加するが、やがて構造物の一部が塑性領域に入り、塑性ヒンジが生じるまである。变形はひずみ強度まで増加するとひずみ硬化の現象が起り、さらに構造物の耐荷力を増すものと思われる。そして、最終的には構造物の局部座屈構造物全体として座屈、または圧縮材の不安定現象等により崩壊に至るであろう。

ひずみ硬化の影響を考慮して、構造物の塑性挙動を解析した研究は数多く見受けられる。特に連続柱および内端固定柱を用いてひずみ硬化の役割について研究を行なった Lag, M. G. and Smith, P. P. のもの、I型断面およびH型断面を用いて実験を行なった Hrennikoff, A. D. の研究、山形ラーメンについて実験を行なった Horne, M. R. and Chin, M. W. の研究、偏心圧縮柱について理論的、実験的検討を行なった、草間の研究等である。これらの研究においては、ひずみ硬化による構造物の耐荷力、またひずみ強度に影響を及ぼすとしている。これらの結果より、Lehigh 大学の Fritz の研究では、構造物の耐荷力はひずみ硬化の影響により、ひずみ硬化を考慮しない時の約1.15倍で計算されるといつてよい。

本研究においては、ラーメン構造のひずみ硬化の影響を考慮することにより、ひずみ硬化による変形挙動を示すべく(知りため)、最も簡単な図-1に示すようラーメン構造について、柱頭の軸力を変化させた検討を行なった。図-1 背景寸法

2. 用いられた定義

ラーメン構造の変形挙動を検討するにあたり、次にあげるよう定義をした。

1). ラーメン構造に用いられる鋼構造用部材の応力-ひずみの関係は図-2 によ

る。すなはち線形化された関係であるとす。ただし、

$$\sigma_y = 250 \text{ kg/cm}^2 \quad E = 2,100,000 \text{ kg/cm}^2$$

2). 断面形の弹性変形係数は、同じ断面形状を得る。113.

3). 残留応力の大きさ、分布(図-3 に示す通り)、部材については一様に分布するものとする。

4). 柱の変形挙動を求めるにあたり、(1), すなはち軸力が作用しない(曲げモーメントが作用するものと

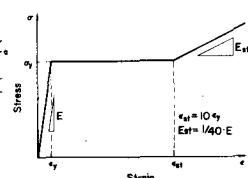
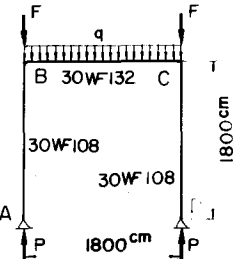


図-2 線形化-ひずみ関係

可る。

- 5). 前組は初期の無載荷状態では弾性であり、前組中の任意の位置で一度降伏へ始まると、その位置でのひずみは連続して増加する、そのため、ひずみへ反転は不可のと可る。

- 6). 前組の初期変形はせいものとする。

- 7). 荷重と変形とは同一平面内に作用する。

3. 曲げモーメントと曲率の関係

部材の応力へひずみの関係は図-2のようを理想化されると可る。一般に軟鋼においてひずみ硬化に入るとひずみの大きさと降伏ひずみ ϵ_y の移行 ~ 14 倍であるが、本研究においては1倍とする。またひずみ硬化後の弾性係数は $E_s = 1/40 \cdot E$ とする。そして、初期応力へひずみ成形による理想化された図-3へすそわへ用いる。

残留応力を除むひずみ硬化を考慮して、柱部材として用いたH形鋼の30WF 図-4 H型鋼の計算方法 108 の曲げモーメントと曲率の関係は、軸力 P_y が 0.1, 0.2, 0.3 および 0.4 K. 時には図-5 によく。

は柱端K用いられたH形鋼の30WF / 32を曲げモーメントと曲率の関係は図-6 によく。

所て、積み重ねては図-4 によくように断面の分割を行ひ、K.

4. 柱かまどりの弾塑性挙動

ラーメン構造の柱軸力と曲げモーメントを同時に受けるので、柱かまどりとマニホールドを求めた。

柱かまどりの算定は数値積分法により、すなばく図-7 によく。ここで軸力P、端部でのひずみ角 θ_0 の値を定め、つき P/P_y が作用する中心軸長さにて、 P_i を定める。変形の微小部分内のひずみ形状を内試と仮定し、高次の項を無くす。図-7より次式を得られる。¹⁾

$$\bar{\nu}_i = P_i \bar{\theta}_0 - \frac{P_i^2 \phi_i}{E} \quad (1)$$

$$\bar{\theta}_i = \bar{\theta}_0 - P_i \phi_i \quad (2)$$

一般に

$$\bar{\nu}_i = \bar{\nu}_{i-1} + P_i \bar{\theta}_{i-1} - \frac{P_i^2 \phi_i}{E} \quad (3)$$

$$\bar{\theta}_i = \bar{\theta}_{i-1} - P_i \phi_i \quad (4)$$

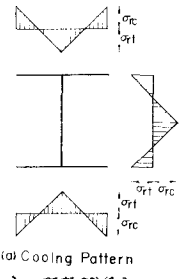


図-3 冷却残留応力

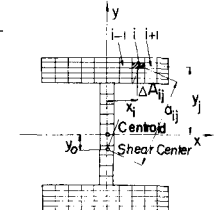


図-4 H型鋼の計算方法

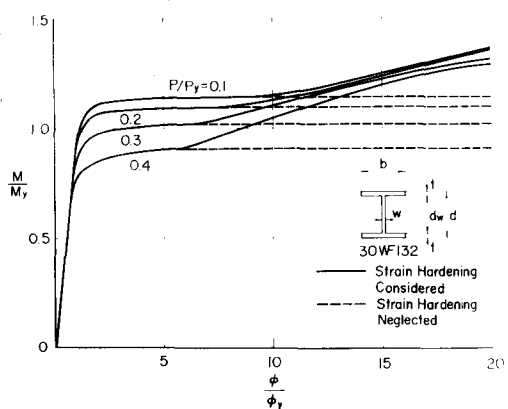


図-5 柱部材の曲げモーメント-曲率の関係

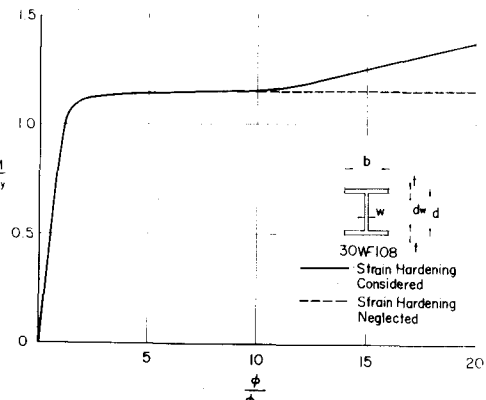


図-6 はり部材の曲げモーメント-曲率の関係

と表わされ、積分 $\int \theta = 0$ から 3 まで行なう。

式(1)～(4)から、柱の曲率中立線部分の平均モーメントを用いて M-P 曲線の近似的な求め方。この平均モーメントは図-7 から

$$M_{m_1} = \frac{P\bar{\theta}_0 P_1}{z} \quad (5)$$

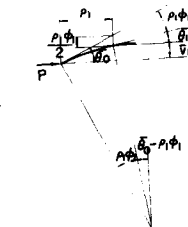


図-7 在ひねり軸線積分法

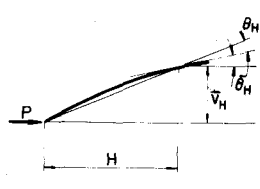


図-8 在ひねり曲線

$$M_{m_i} = M_{m_{i-1}} + \frac{P\bar{\theta}_i \phi_i}{z} \quad (6)$$

である。

したがって、 $\bar{\theta} = 0$ から以前の曲線より先端でのモーメント M_{pc} を求めれば、その後の柱の曲線を計算することができる意味となる。ただし、 α の硬化を考慮する場合に $\bar{\theta} = 0$ から位置までの積分を行なうと、柱の曲線を得る。

本研究における柱部材の境界条件は直承載ビンであるから、図-8 の関係から求められた柱の曲線より部材長 H の端におけるひねり角による回転角を差し引かなければならず、そのためには

$$\theta_i = \bar{\theta}_i - \bar{\theta}_{H_i} \quad (7)$$

である。

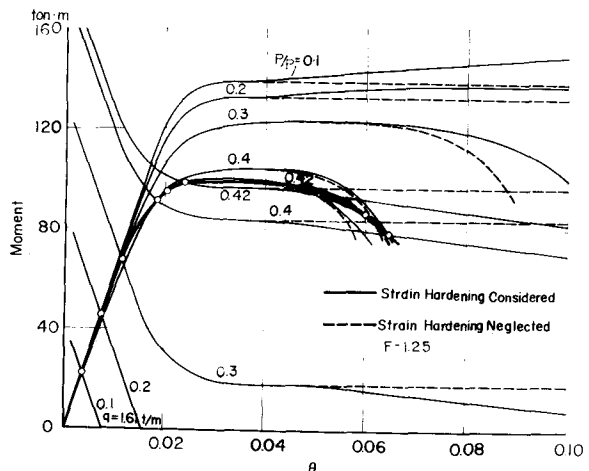
次いで最初の積分 $\int \theta = 0$ まで求められ、柱の曲線によって $M = P\bar{\theta}_H$ と $\bar{\theta}_H$ を求め、プロットすれば、これが求められた曲線が柱の終端モーメント回転角曲線である。

はりの曲げモーメント-回転角曲線(部材ひずみ硬化を無視して場合と考慮して場合の M-P 曲線を数値積分する)を求める。すなはち、勾配の零であるスパン中央から既定の柱先端のモーメントを用いて積分を開始し、はりの長さに沿って全積分長 L で $L/2$ まで繰り返す。すなはち端の回転角 θ と曲げモーメントを求めた。

5. ラーメンの変形性状

ラーメン構造エニア用簡単モデル図-1のよう第一層ースパン対称門型ラーメンで柱部材は 30WF108、下りは 30WF182 のもとでいい。ラーメンの高さ、幅共に 18 m である。作用する荷重は、はりに作用する柱と柱の上端に作用する 2 個の集中荷重 F である。2 個の集中荷重は各々半分比例するものとして $F=1.25$ 、 0.75 、 0.5 を決定した。この場合柱の側の軸力は $P=F L (F+1/2)$ である。

部材荷重共に作用するものから節点中心線に垂直して作用しており、このラーメンは一次の不



静定構造である。不静定力とアーチ角部で引曲げモーメント M_B を選んだ。各々4つ過大方法で柱、4つ荷重-変形関係を求めた。(図-9～11) (細線参照) ラーメンの適合条件を満足するためには、 $M_B = M_{Be}$ 、 $\theta_{BA} = \theta_{BC}$ がなければならずから、任意の角度から(手により)、4つ柱M-4つ角部の交差点を点K_{0.17}、両方の条件を満足するこよりして。(図-9～11) (太線参照) 太線はラーメン構造の端部モーメント-変形曲線を示してある、これらの値から容易に荷重変形関係を求めることが可能である。

6. 琴葉と結論

本研究によるラーメン構造の解析には、力のフリーアル、変形適合、部材のM-θ関係を用いた。ひずみ硬化を考慮した場合と無視した場合(図-9 F=1.25 の場合最大耐荷力の柱の軸力がK_{0.17}、 $P/P_y = 0.4$ 附近でありその後耐荷力が急激に低下して113.5 Nm、ひずみ硬化を考慮した場合の方の耐荷量の低下は緩いである。図-10 F=0.75 の場合には最大耐荷力の柱の軸力で $P/P_y = 0.32$ を少し越えて503.そして F=0.5 の場合における最大耐荷力は $P/P_y = 0.255$ 附近であり図-11からも分かる様にひずみ硬化を考慮した場合の柱の軸力で $P/P_y = 0.005$ 程度増加して113.以上のことから柱頭に作用する力が小さくなるにつれて最大耐荷力が増加すると共にひずみ硬化の影響が顕著に現れるようである。

従来、ひずみ硬化の影響は構造物に有利に働くものと考えられてきたが、ひずみ硬化の影響を一律に考えるのは不合理であり、構造形式や荷重状態に対して十分検討する必要があるようと思われる。

7. 参考文献

- 1) Fritz Engineering Laboratory: "Plastic Design of Multi-Story Frames" Fritz Engineering Laboratory Lehigh University
- 2) 草間孝志: "偏心圧縮柱の荷重-変形性状に対するひずみ硬化の影響" 土木学会論文報告集 第184号・pp1～10. 1970. 12
- 3) Galumba, T. V.: "Structural Members and Frame" Prentice Hall, Inc., New Jersey 1968

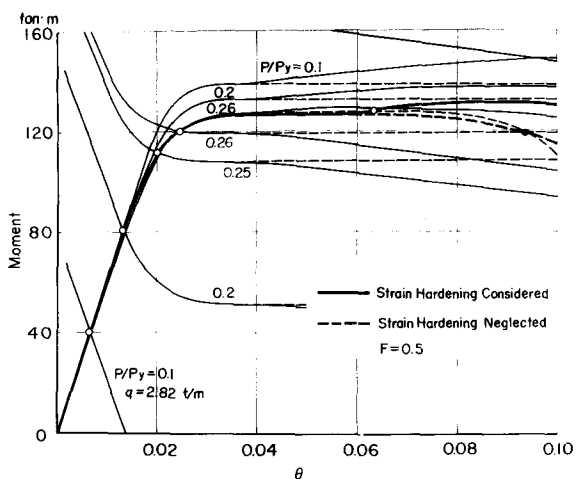


図-10 構組の節点に沿う引曲げモーメントのフリーアルと変形適合 ($F=0.75$)

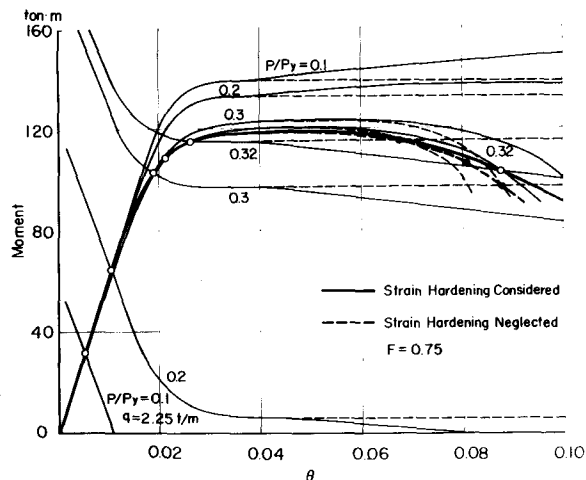


図-11 構組の節点に沿う引曲げモーメントのフリーアルと変形適合 ($F=0.5$)